

Но вернемся снова к фазовым $P-T$ -диаграммам элементов V-Б группы. Все они имеют много общих черт. Во-первых, это чисто внешнее сходство рисунка диаграмм, который, слегка изменяясь, повторяется от соседа к соседу. Наклон кривых плавления исходных фаз постепенно изменяется от положительного у фосфора до отрицательного у висмута; скорее всего, столь постепенно будут изменяться и наклоны границ между их твердыми фазами. С ростом порядкового номера элементов $P-T$ -диаграммы как будто стягиваются в сторону меньших давлений и температур, так что диаграмму каждого из этих элементов можно получить, растягивая или сжимая $P-T$ -диаграмму его соседа по группе.

Самым замечательным оказывается то обстоятельство, что последовательность в смене кристаллических структур полиморфных модификаций тоже оказывается общей: орторомбическая решетка с одной центрированной гранью (черный фосфор PI) \rightarrow ромбическая типа A7 (PII, As, Sb, Bi) \rightarrow куб примитивный (PIII, AsIII, SbII, BiII?) \rightarrow гексагональная плотноупакованная типа A3 (SbIII, \rightarrow BiIII?) \rightarrow гранецентрированная кубическая типа A1 (BiV?). В соответствии с такой последовательностью структур наблюдается увеличение координационного числа при упаковке атомов, т. е. с ростом давления каждый атом получает все более тесное окружение соседними атомами (к. ч.: 3 \rightarrow 6 \rightarrow 12).

В последовательности структур рядом с обозначением некоторых модификаций мы поставили вопросительные знаки — их структуры еще не установлены, но выйдут ли они из этого стройного ряда? Рассмотрение элементов V-Б группы в работе⁹⁶ показало, что при обычных условиях для них энергетически выгодным является переход от примитивного куба к ромбоэдрической структуре типа A7 и что висмут сравнительно легко, т. е. при не слишком большом давлении, может быть переведен в металлическое состояние с кристаллической структурой кубической примитивной. Структуру A7 очень легко нарисовать себе, представив две слегка вытянутые по диагонали гранецентрированные решетки смещеными одна относительно другой на очень малую величину — позиционный параметр u . В кубической гранецентрированной решетке можно выделить элементарный ромбоэдр, имеющий угол при вершине, равный 60° . Если взятые нами две гранецентрированные решетки смещать до тех пор, пока позиционный параметр не станет равен $u = 0,250$, то в результате образуется решетка с элементарной ячейкой в виде примитивного куба. Таким образом, структура типа мышьяка A7 является лишь небольшим отклонением от примитивного куба; менее всего это отклонение для висмута и более всего для мышьяка. Высокое давление снимает искажение структуры A7, и она переходит в куб примитивный.

Итак, если висмут вписывается в общую последовательность элементов V-Б группы, мы можем ожидать у него следующую смену структур: BiI — ромбоэдрический тип A7, BiII — куб примитивный, BiIII — гексагональный плотноупакованный тип A3, BiIV — куб объемноцентрированный, BiV — куб гранецентрированный.

10. ЭЛЕМЕНТЫ VI-Б ГРУППЫ

Из элементов VI-Б группы мы рассмотрим только селен и теллур из-за большого сходства их свойств и еще потому, что для построения их фазовых $P-T$ -диаграмм имеется более всего данных. При обычных условиях селен имеет несколько аллотропных модификаций, но термодинамически устойчивой формой является так называемый серый селен, имеющий структуру гексагональную типа A8; в этой же структуре кристаллизуется и теллур.

В упаковке типа A8 у каждого атома ближайшими соседями оказываются один нижний атом и один верхний, лежащие на одной вертикали, так что вся структура разбивается на вертикальные спиральные цепочки.

Интересно отметить, что в основе структур типа A8 (тип селена) и A7 (тип мышьяка) лежит трехслойная кубическая упаковка, только вырождение куба для этих двух структур идет в двух противоположных направлениях. Если в нормальном кубе примитивный ромбоэдр имеет угол при вершине 60° , в структуре типа A7, как мы это уже видели в случае мышьяка, сурьмы и висмута, этот угол меньше 60° , то в структуре типа A8 он больше 60° .

Как видно из рис. 20, а, $P-T$ -диаграмма селена изучена очень мало. Кривая плавления определена всего до 10 кбар⁹⁷, а о полиморфизме под давлением свидетельствует излом на кривой зависимости декремента

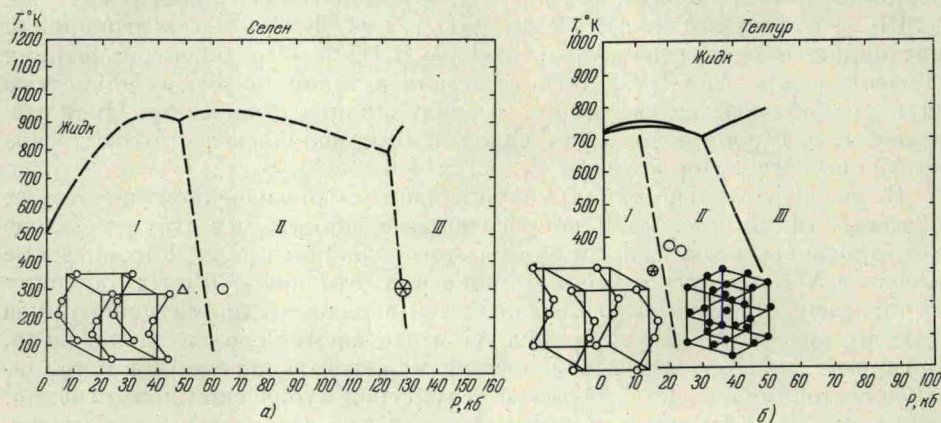


Рис. 20. а) Возможная $P-T$ -диаграмма Se. Кривая плавления определена по скачкам объема⁹⁷; отмечены координаты полиморфных переходов: кружком — излом на кривой зависимости декремента объема от давления³⁷, звездочками — скачки электросопротивления^{21, 98}. б) Фазовая $P-T$ -диаграмма теллура, построенная методом ДТА^{99, 100}. Звездочкой обозначена координата полиморфного перехода TeI — TeII, найденная рентгеновским методом¹⁰². Кружки и участок фазовой границы TeII — TeIII — результат исследований декремента объема под давлением⁶⁸.

объема от давления при 63 кбар³⁷ и скачки электросопротивления при 46 кбар²¹ и 128 кбар⁹⁸. Можно думать, что первые два скачка относятся к одному и тому же переходу $\text{SeI} \rightarrow \text{SeII}$, тогда границу между этими фазами можно провести так, как мы провели ее пунктирной линией. Столь же предположительный характер имеет кривая плавления фазы SeII и фазовая граница $\text{SeII} \rightarrow \text{SeIII}$.

Фазовая $P-T$ -диаграмма теллура определена гораздо полнее; она представлена на рис. 20, б. В работе⁹⁹ определена его кривая плавления до 50 кбар с одним глубоким минимумом при 30 кбар, который является местом выхода на кривую плавления границы равновесия между фазами TeII и TeIII, а в работе¹⁰⁰ на кривой плавления Te найден максимум. Переход $\text{TeI} \rightarrow \text{TeII}$ сопровождается очень небольшим скачком объема, столь небольшим, что, уже построив фазовую границу между модификациями TeI и TeII, Бриджмен просил не принимать его результаты слишком всерьез⁶⁸. При дальнейшем увеличении давления в теллуре было зафиксировано еще два перехода при 45 и 70 кбар; эти переходы сопровождались уже вполне отчетливыми скачками объема³⁷ и электросопротивления¹⁰¹. Здесь интересно отметить, что рентгеновский анализ позволил «увидеть» полиморфный переход при 15 кбар¹⁰². Оказалось, что